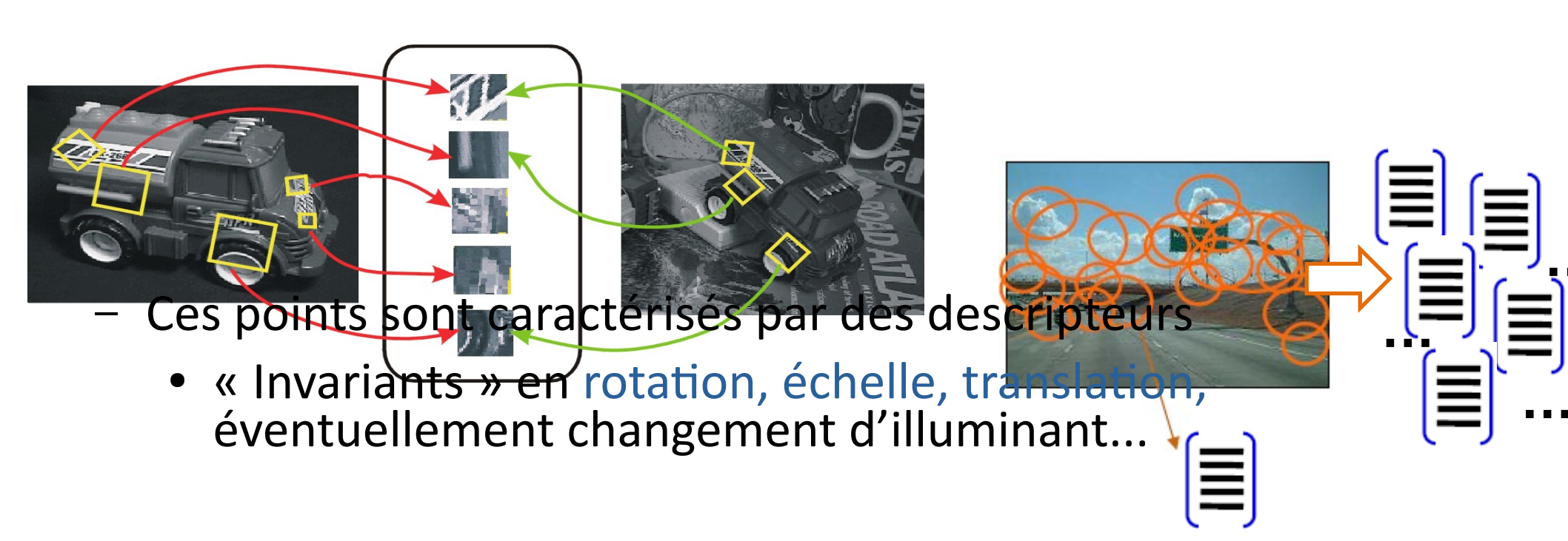
Points d'intérêt

- Une image est décrite :
 - par un ensemble de points (pixels)
 remarquables : POI, keypoints, points clefs
 - Souvent des coins, des blobs...



Types d'invariances



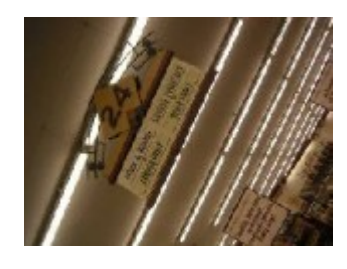
illumination





échelle





rotation

 Utilisés dans de nombreuses applications: reconnaissance d'objet, assemblage d'images (stiching), modélisation 3D, recherche d'image par le contenu, tracking video, etc.

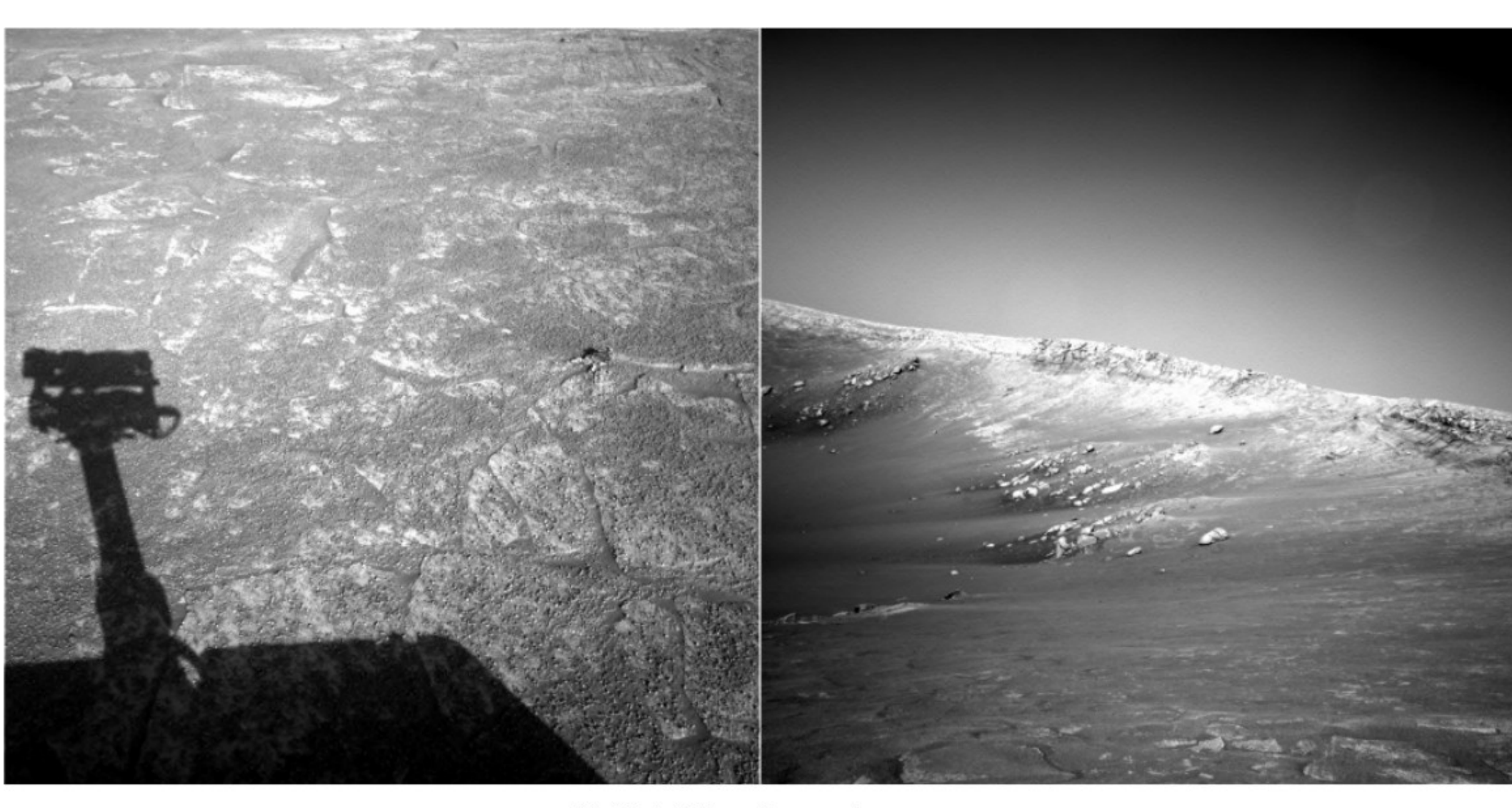




• Popularisés par SIFT (scale-invariant feature transform) :

Note that the International Conference on Computer Vision, vol. 2, 1999, p. 1150—

1157.



NASA Mars Rover images



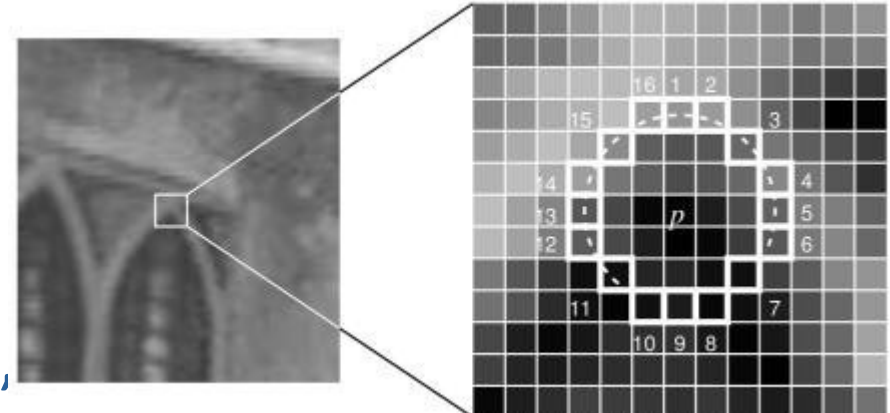
NASA Mars Rover images with SIFT feature matches Figure by Noah Snavely

ORB (Oriented FAST and Rotated BRIEF)

- OpenCV labs by Ethan Rublee, Vincent Rabaud, Kurt Konolige, and Gary R. Bradski in 2011,
- Alternative à SIFT (et SURF) qui sont brevetés.
- ORB est aussi efficace et deux ordres de grandeur plus rapide.
- Repose sur deux algorithmes :
 - FAST (modifié) pour la détection des points d'intérêts (POI ou keypoints)
 - BRIEF pour le calcul des descripteurs

FAST (Features from Accelerated Segment Test)

- t est un seuil fixé
- Pour chaque pixel p de l'image, dont le niveau de gris est noté lp :
 - On considère le cercle de 16 pixels autour de p (Cercle discret de rayon 3.)



 p est un point d' plus clairs ou plus toncés que p :

cercle consécutifs

- Un pixel est foncé si son intensité est supérieure à lp + t
- Un pixel est clair si son intensité est inférieure à lp t

- > invariance par changement d'illuminant
- Dans sa version originale, cet algorithme détecte trop de points, il a donc été amélioré :
 - Sélection des configurations les plus pertinentes par apprentissage (ID3)
 - Suppression des non-maxima si des POI sont trop proches :
 - Calcul de la somme des différences absolues entre un POI et les pixels du cercle
 - Seul le POI de plus grande valeur est conservé.
 - Image préalablement lissée (gaussien)

- Les points d'intérêt (POI) sont détectés à différentes échelles :
 - Pyramide par sous-échantillonnage et filtrage
 - Porte rectangulaire
 - Ou porte gaussienne

Level 4 Blur and 1/16 resolution subsample Level 3 Blur and 1/8 resolution subsample Level 2 1/4 resolution Blur and subsample Level 1 1/2 resolution Blur and subsample Level 0 Original image

→ invariance en échelle

Rappel - Convolution 2D

généralisation de l'idée de moyenne mobile d'une image f par un masque g

En continu:

$$(f*g)(x,y) = \int_{-\infty}^{\infty} \int_{-\infty}^{\infty} f(u,v)g(x-u,y-v)dudv$$

En discret:

$$(f * g)[x, y] = \sum_{v = -\infty}^{\infty} \sum_{u = -\infty}^{\infty} f[u, v]g[x - u, y - v]$$

En pratique (l'image n'est pas de taille infinie..)

$$(f * g)[x, y] = \sum_{i=-r}^{r} \sum_{j=-r}^{r} f[i + x, j + y]g[r - i, r - j]$$

Pour une image de taille (m,n) où (x,y)∈[0..m-1]x[0..n-1] Et un masque de taille impaire (2r+1,2r+1)

Rappel - Convolution 2D

Avant application sur l'image on prend le symétrique du masque sinon c'est une corrélation

En continu:

$$(f*g)(x,y) = \int_{-\infty}^{\infty} \int_{-\infty}^{\infty} f(u,v)g(x-u,y-v)dudv$$

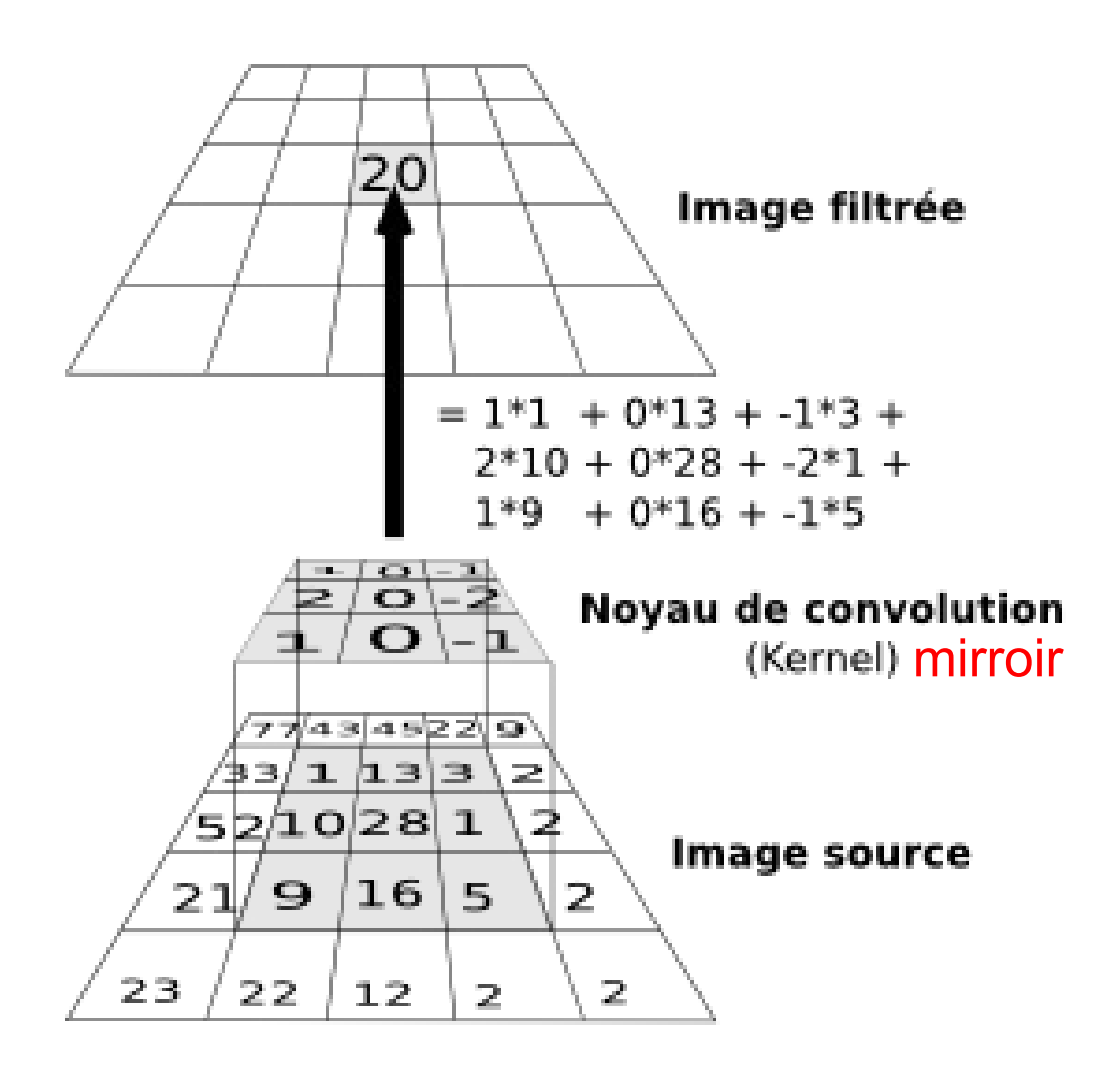
En discret:

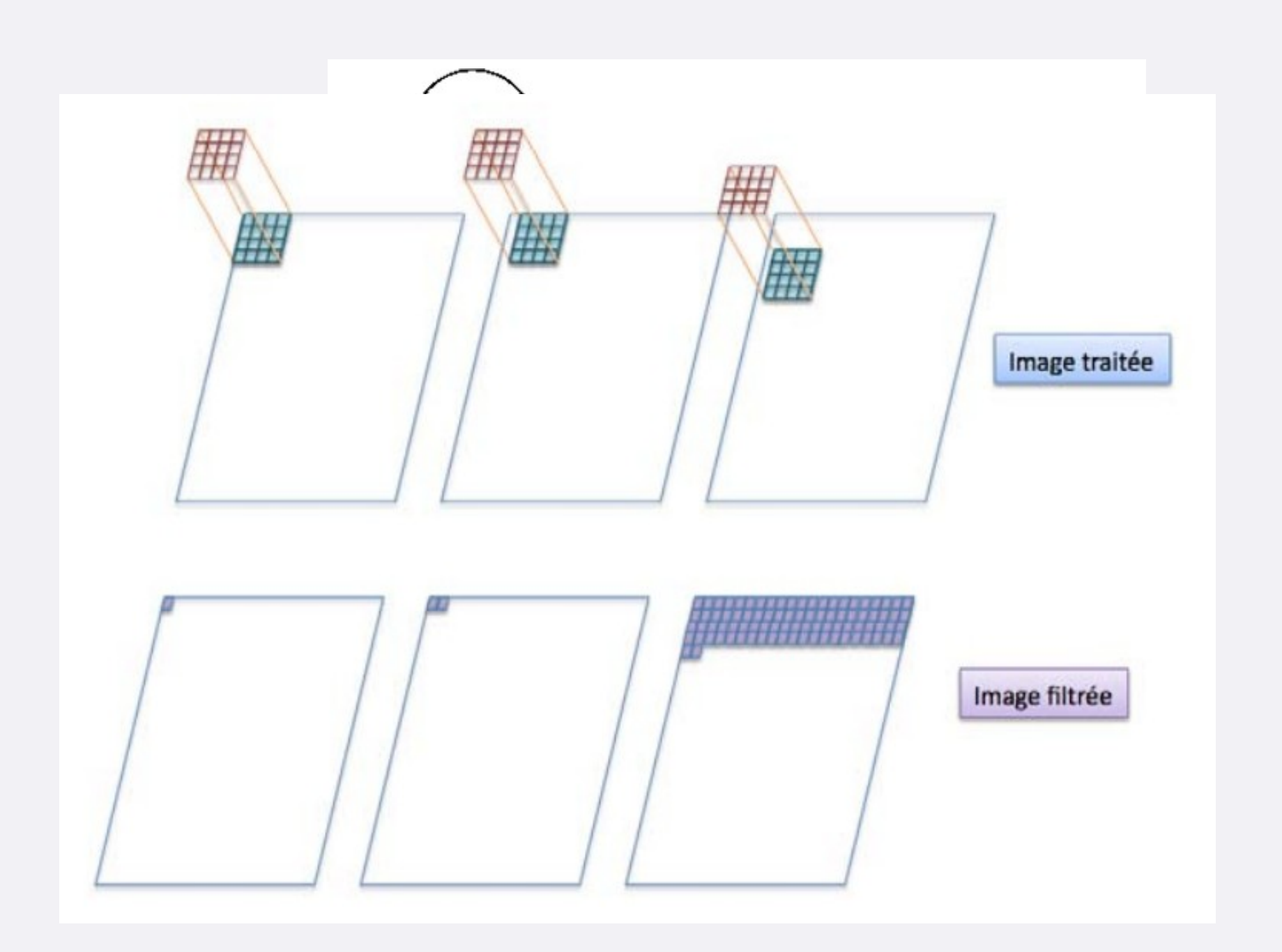
$$(f * g)[x, y] = \sum_{v = -\infty}^{\infty} \sum_{u = -\infty}^{\infty} f[u, v]g[x - u, y - v]$$

En pratique (l'image n'est pas de taille infinie..)

$$(f * g)[x, y] = \sum_{i=-r}^{r} \sum_{j=-r}^{r} f[i + x, j + y]g[r - i, r - j]$$

Pour une image de taille (m,n) où (x,y)∈[0..m-1]x[0..n-1] Et un masque de taille impaire (2r+1,2r+1)





Filtre-passe bas

Filtre moyenneur (blur ou box filter)

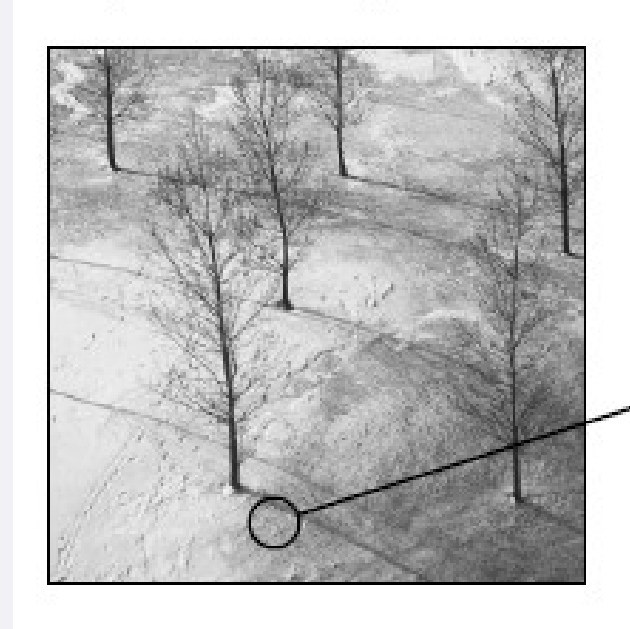
$$h = \frac{1}{9} \begin{bmatrix} 1 & 1 & 1 \\ 1 & 1 & 1 \\ 1 & 1 & 1 \end{bmatrix}$$

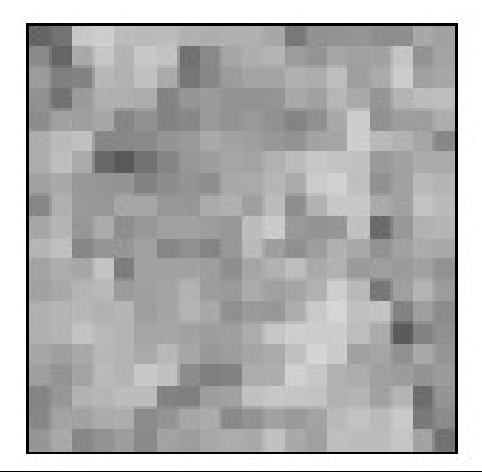


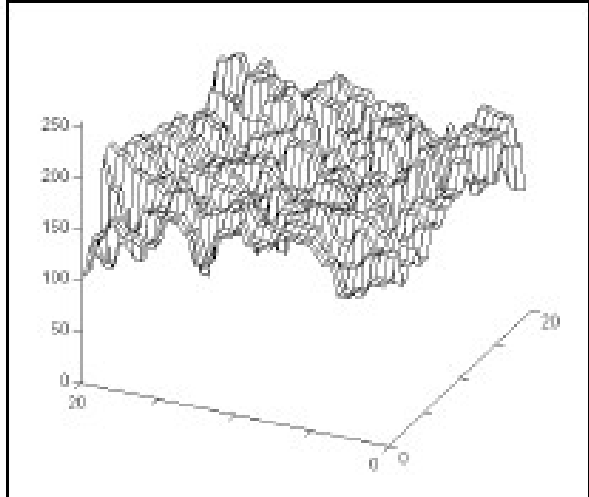


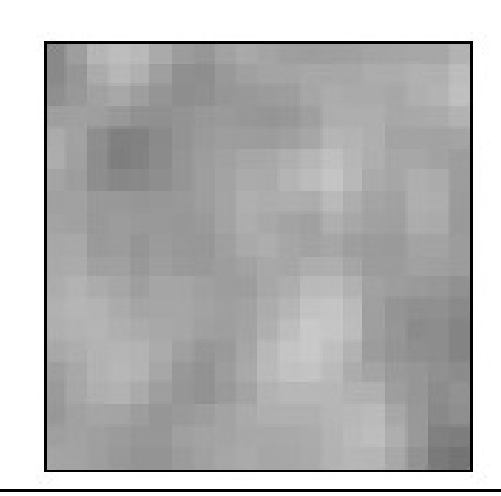
Filtrage passe-bas (détails)

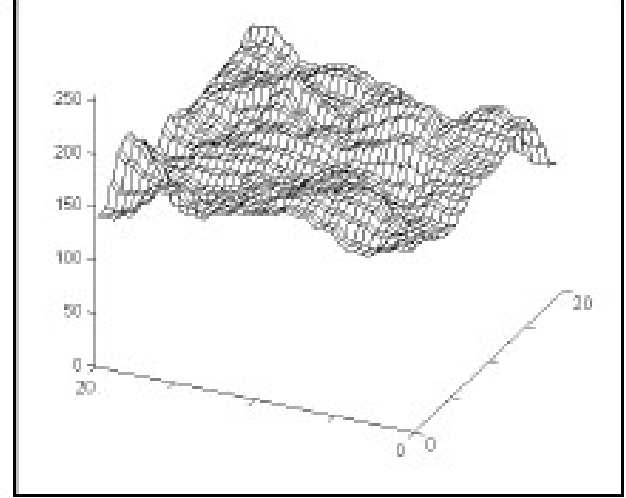
$$h = \frac{1}{9} \begin{bmatrix} 1 & 1 & 1 \\ 1 & 1 & 1 \\ 1 & 1 & 1 \end{bmatrix}$$





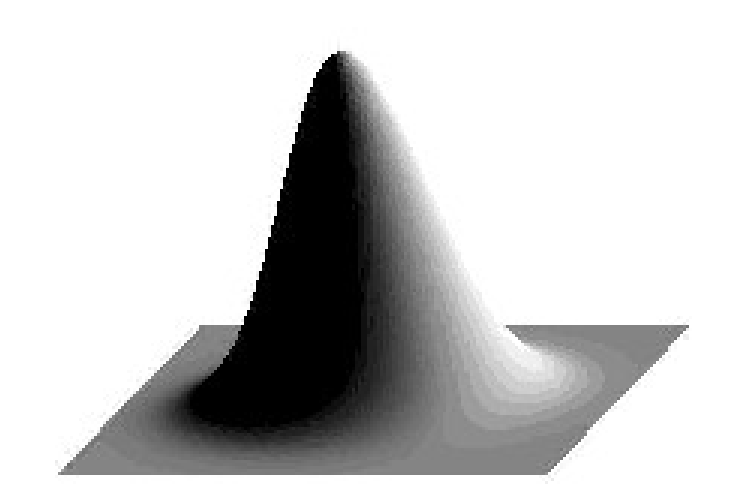






- C'est le filtre passe-bas le plus utilisé
- Il est paramétrable :
 - Degré de lissage par la taille du filtre et la variance de la gaussienne

$$o(x,y) = I(x,y) \cdot \frac{1}{\sigma\sqrt{2\pi}} e^{-\frac{(x^2+y^2)}{2\sigma^2}}$$

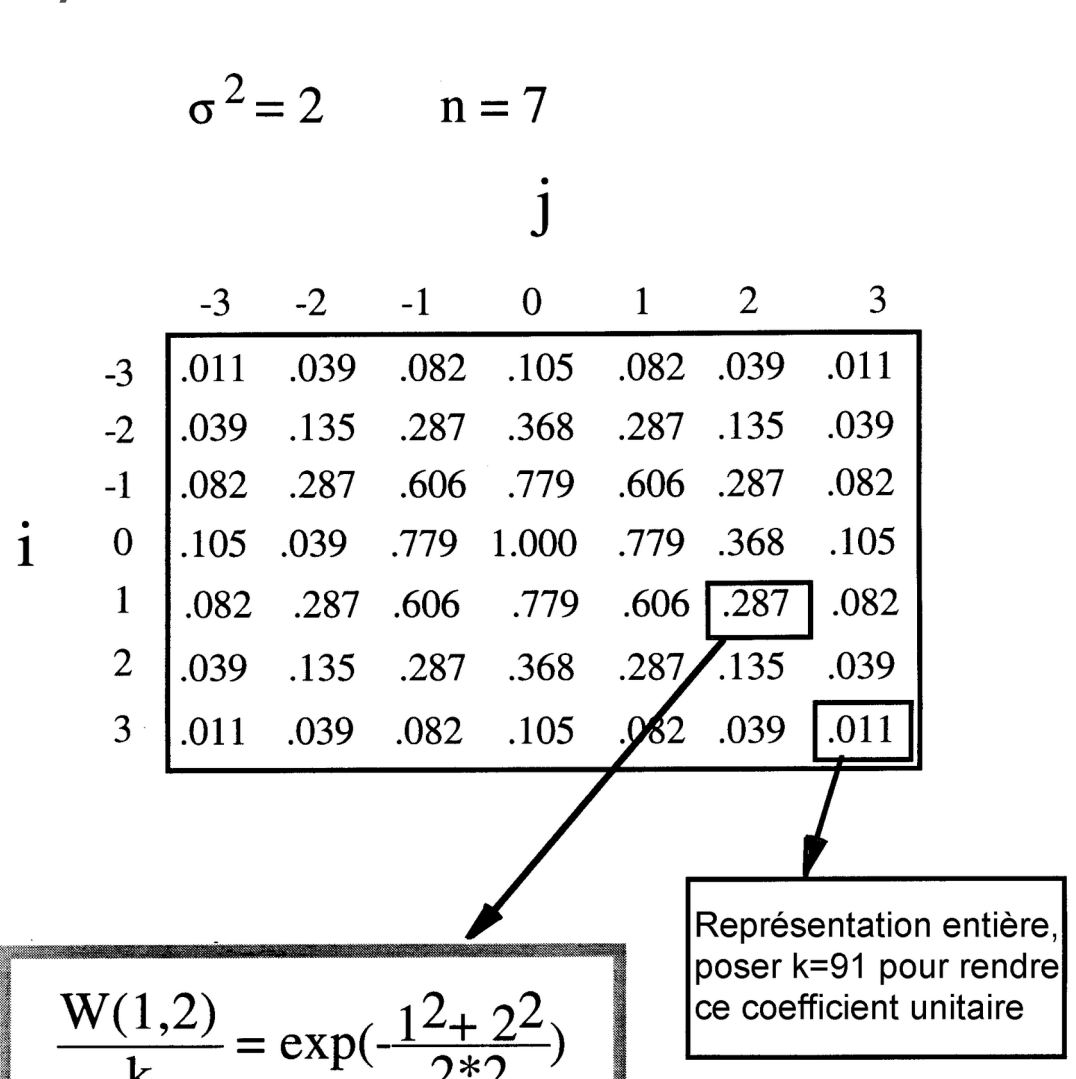


Paramètres et calcul du noyau de convolution

$$o(x,y) = I(x,y) \cdot \frac{1}{\sigma\sqrt{2\pi}} e^{-\frac{(x^2+y^2)}{2\sigma^2}}$$

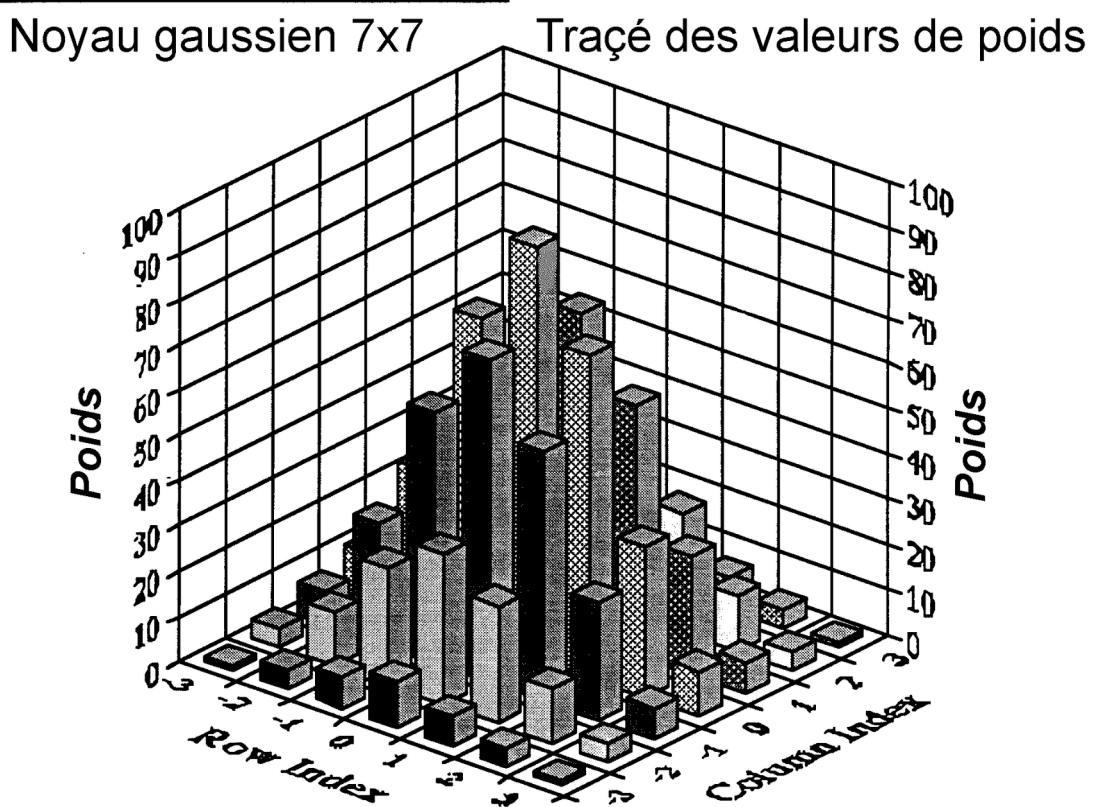
$$W(i,j) = k \cdot \exp\left(-\frac{i^2+j^2}{2\sigma^2}\right)$$

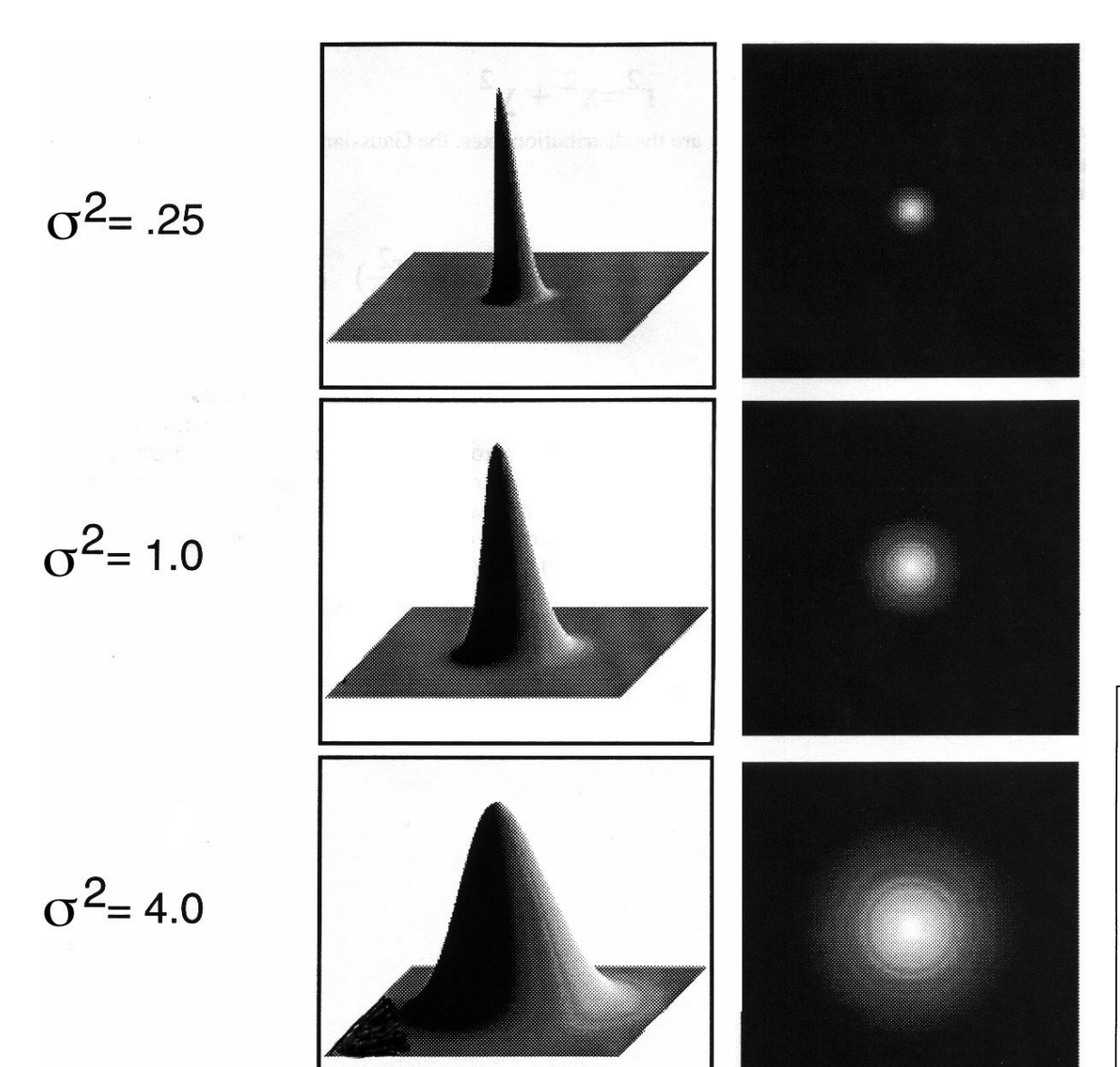
$$\frac{W(i,j)}{k} = \exp\left(-\frac{i^2 + j^2}{2\sigma^2}\right)$$



1	4	7	10	7	4	1
4	12	26	33	26	12	4
7	26	55	71	55	26	7
10	33	71	91	71	33	10
7	26	55	71	55	26	7
4	12	26	33	26	12	4
1	4	7	10	7	4	1

$$\sum_{i=-3}^{3} \sum_{j=-3}^{3} W(i,j) = 1,115$$





$$\begin{bmatrix} \frac{1}{16} & \frac{2}{16} & \frac{1}{16} \\ \frac{2}{16} & \frac{4}{16} & \frac{2}{16} \\ \frac{1}{16} & \frac{2}{16} & \frac{1}{16} \end{bmatrix}$$

$$\begin{pmatrix} 1 & 4 & 7 & 4 & 1 \\ 4 & 16 & 26 & 16 & 4 \\ 7 & 26 & 41 & 26 & 7 \\ 4 & 16 & 26 & 16 & 4 \\ 1 & 4 & 7 & 4 & 1 \end{pmatrix}$$

Noyau gaussien 7x7

1	1	2	2	2	1	1
1	2	2	4	2	2	1
2	2	4	8	4	2	2
2	4	8	16	8	4	2
2	2	4	8	4	2	2
1	2	2	4	2	2	1
1	1	2	2	2	1	1

Noyau gaussien 15x15

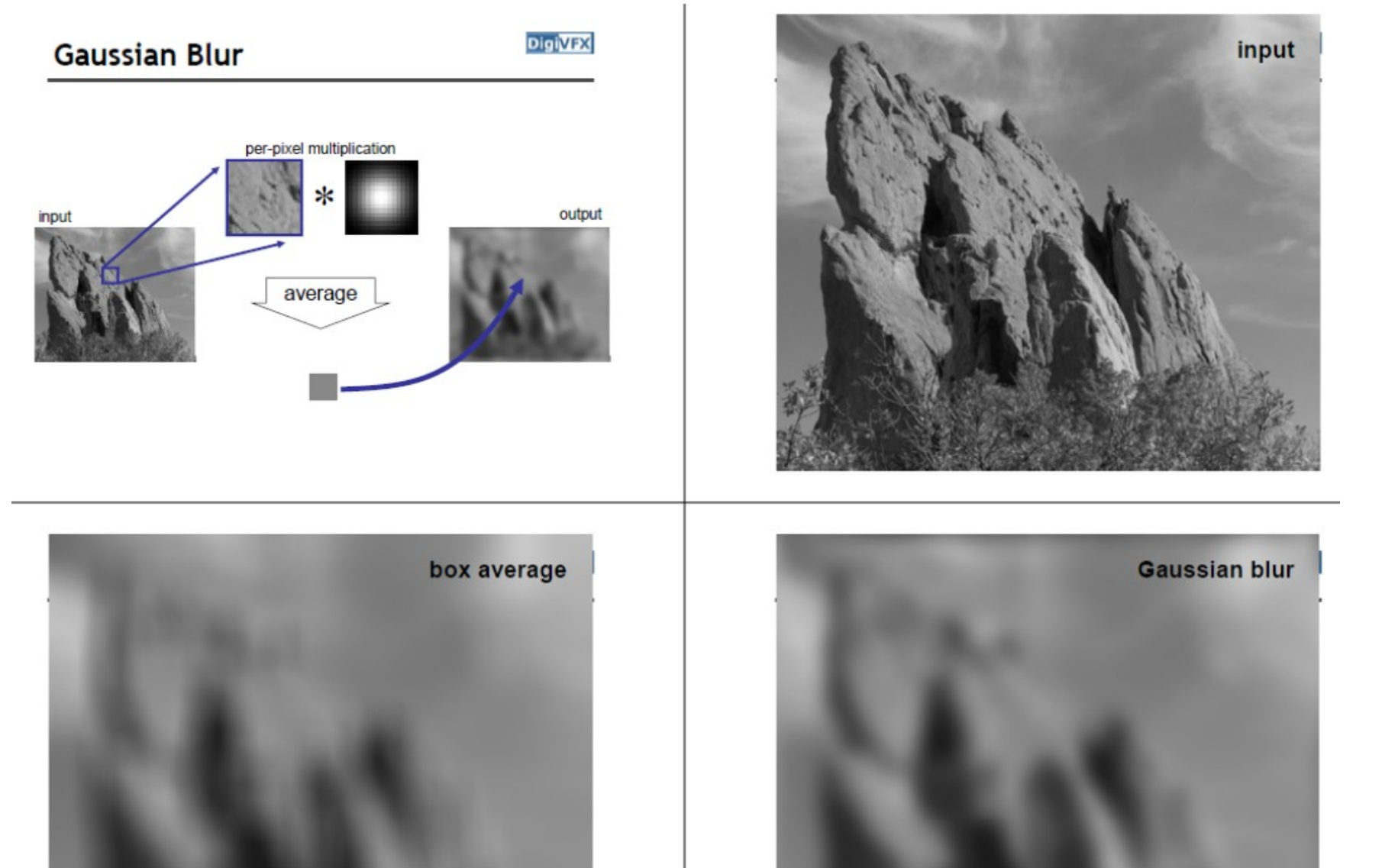
2 2 3 4 5 7 7 8 8 8 7 7 5 4 3 2 2 3 4 6 7 9 10 10 11 10 10 9 7 6 4 3 4 10 10 12 13 13 13 12 10 9 7 5 4 5 7 9 11 13 14 15 16 15 14 13 11 9 7 5 6 8 10 13 15 17 19 19 19 17 15 13 10 8 6 8 11 13 16 18 19 20 19 18 16 13 11 8 6 6 8 10 13 15 17 19 19 19 17 15 13 10 8 6 6 8 10 13 15 17 19 19 19 17 15 13 10 8 6 5 7 10 12 14 16 17 18 17 16 14 12 10 7 5 7 9 11 13 14 15 16 15 14 13 11 9 7 5 7 9 11 13 14 15 16 15 14 13 11 9 7 5 7 9 11 13 14 15 16 15 14 13 11 9 7 5 4 5 7 9 10 12 13 13 13 12 10 9 7 5 4 3 4 6 7 9 10 10 11 10 10 9 7 6 4 3 2 3 4 5 7 7 8 8 8 8 7 7 5 4 3 2 2 2 3 4 5 5 6 6 6 5 5 4 3 2 2



Noyau gaussien 7x7



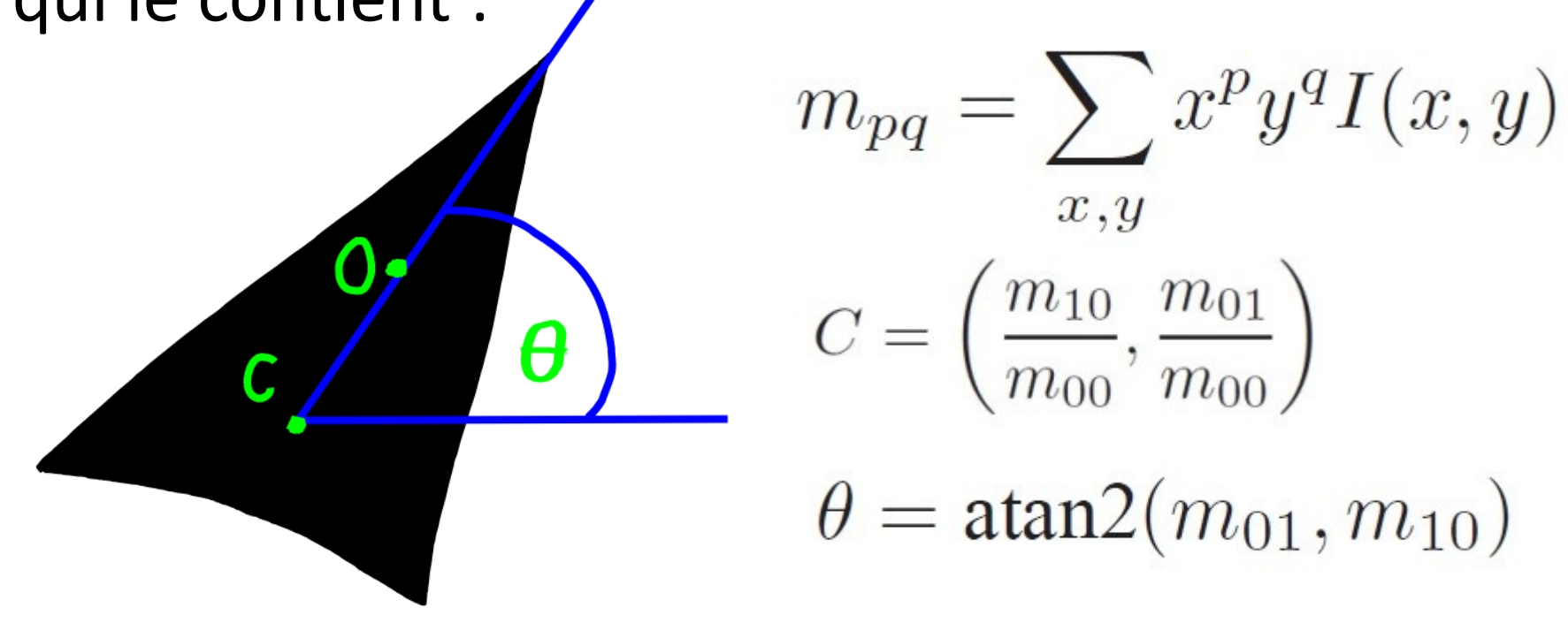
Noyau gaussien 15x15



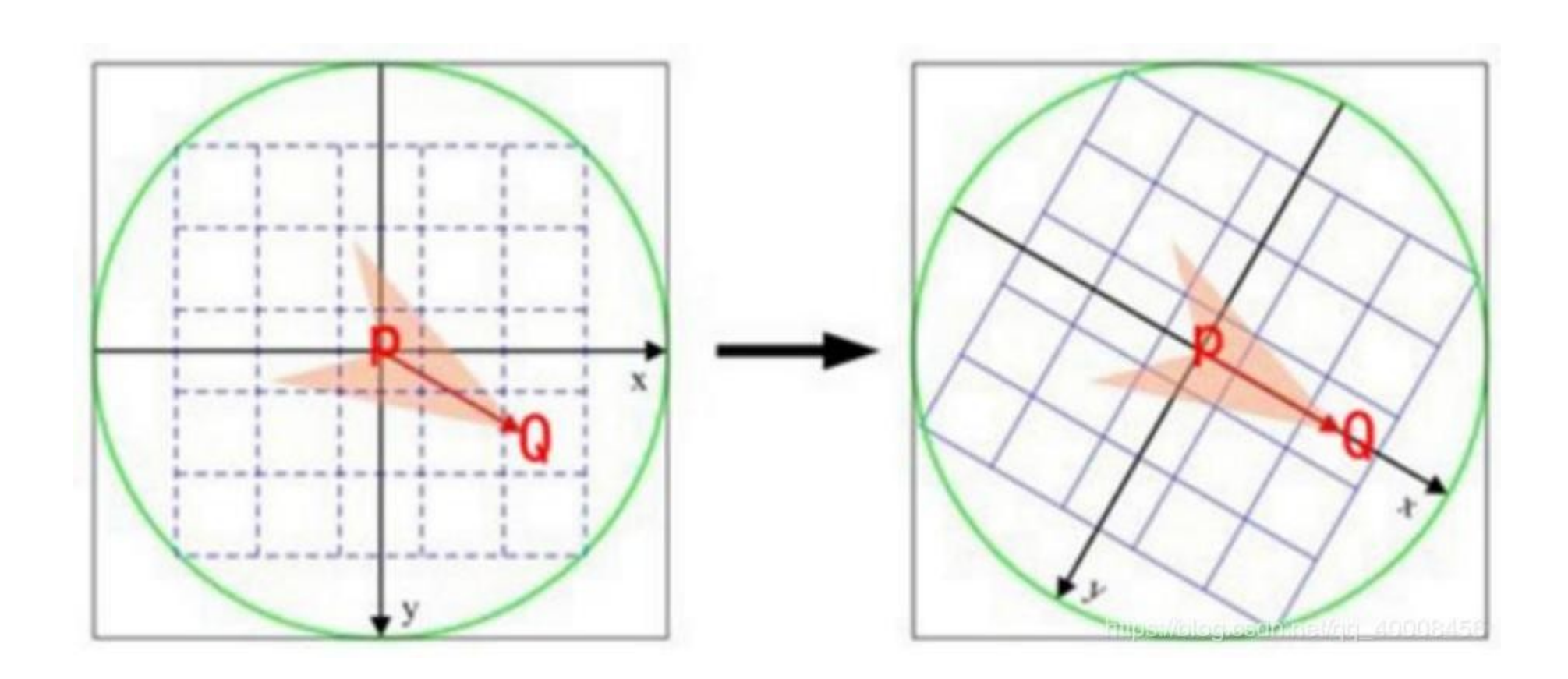
Fin du rappel

Orientation

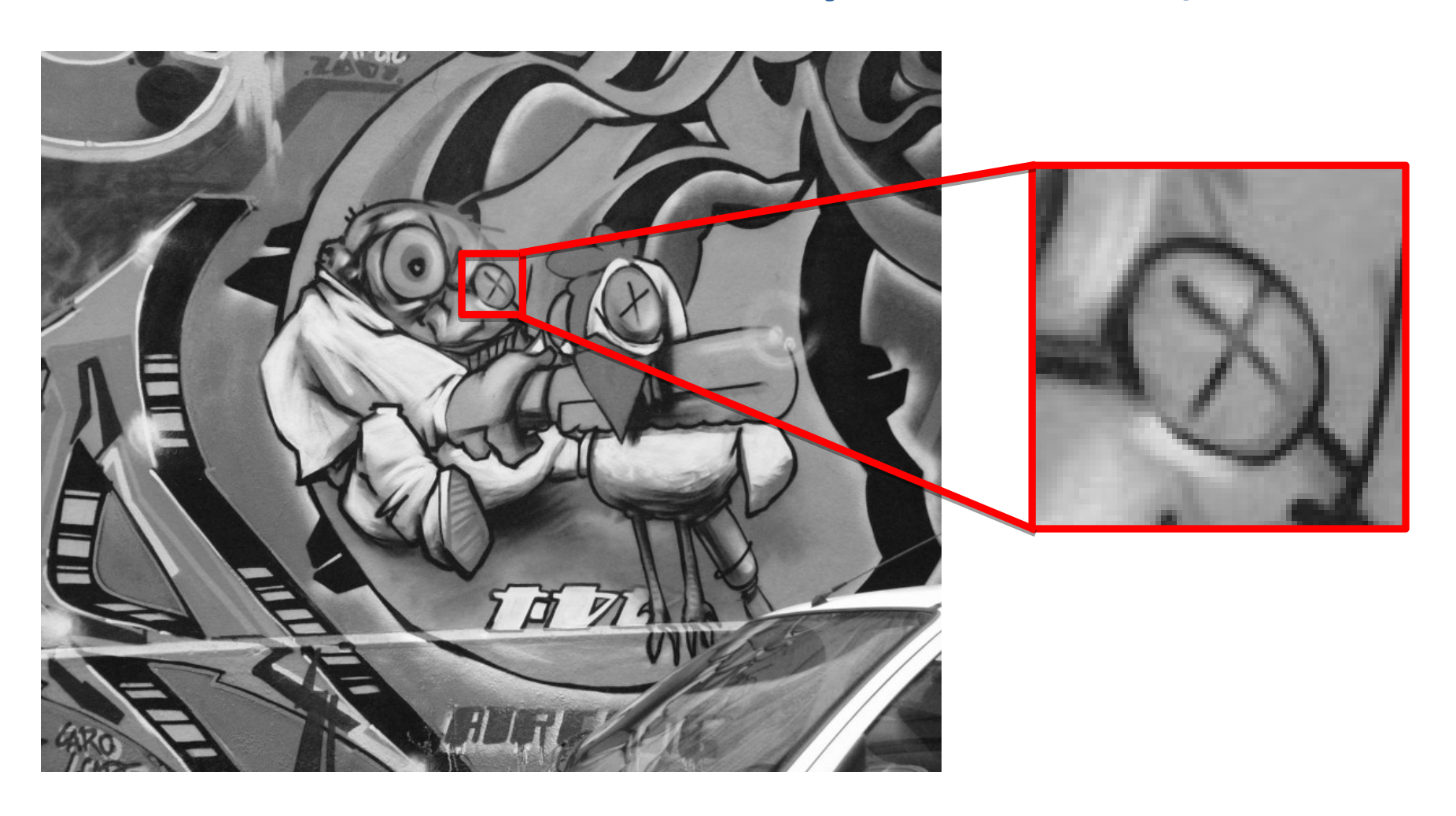
 L'idée est que le coin détecté O est décalé par rapport au centre de gravité C de l'imagette (patch) qui le contient :



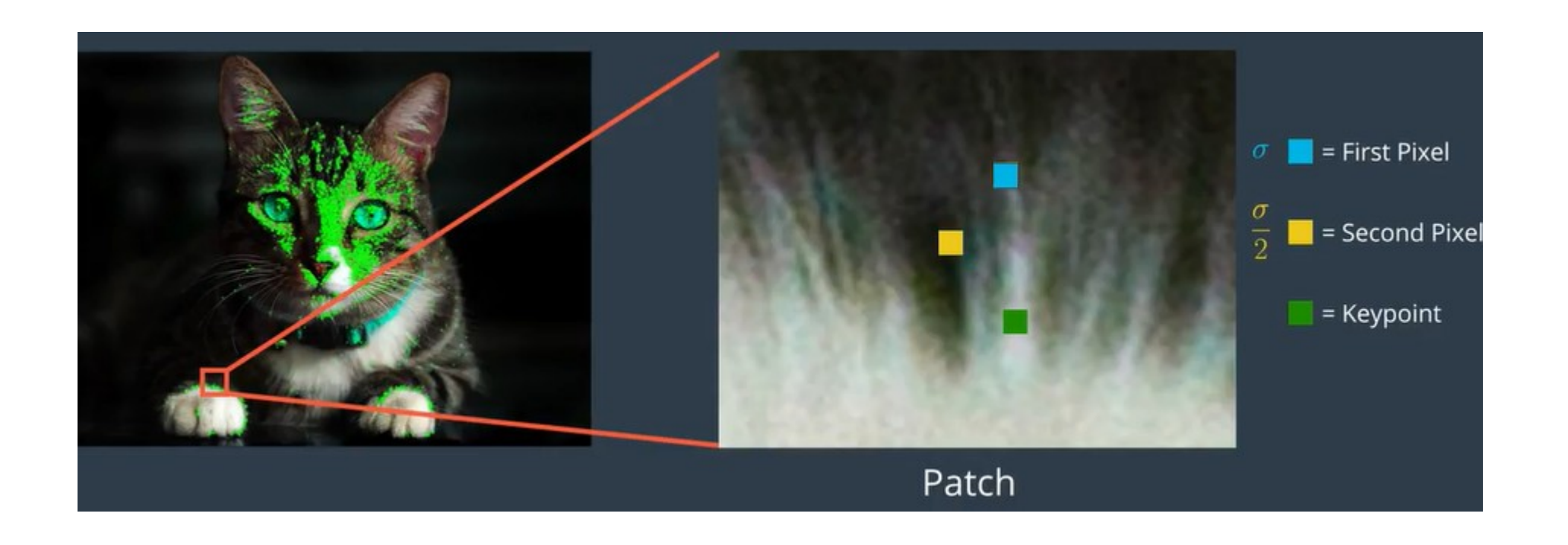
 Le patch est réaligné sur un angle arbitraire avant le calcul du descripteur → invariance en rotation

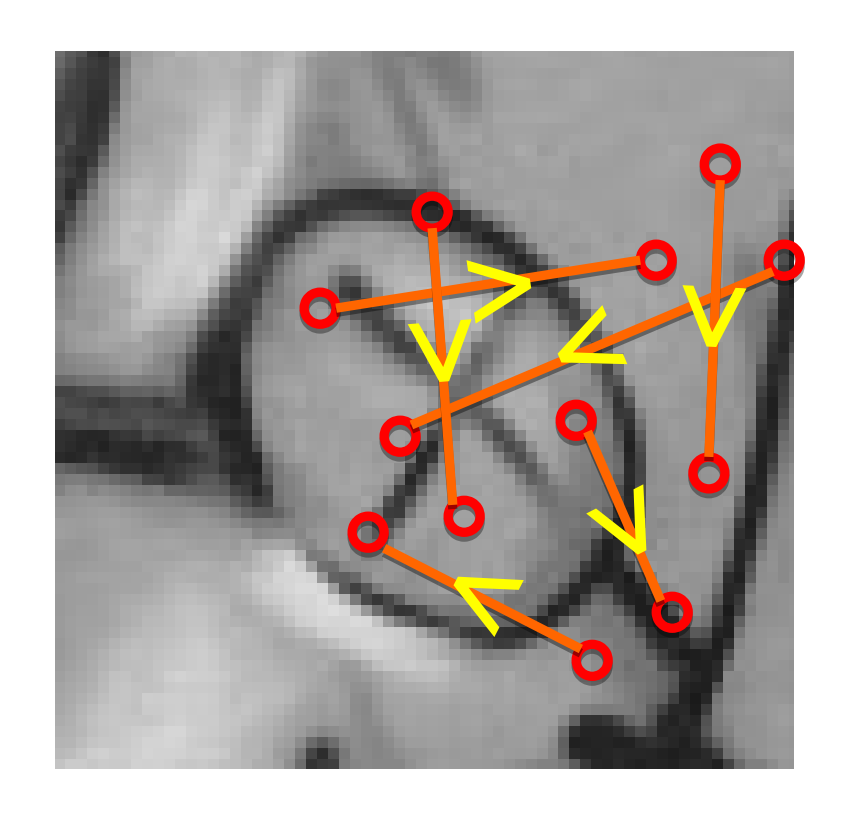


Brief (Binary robust independent elementary feature)



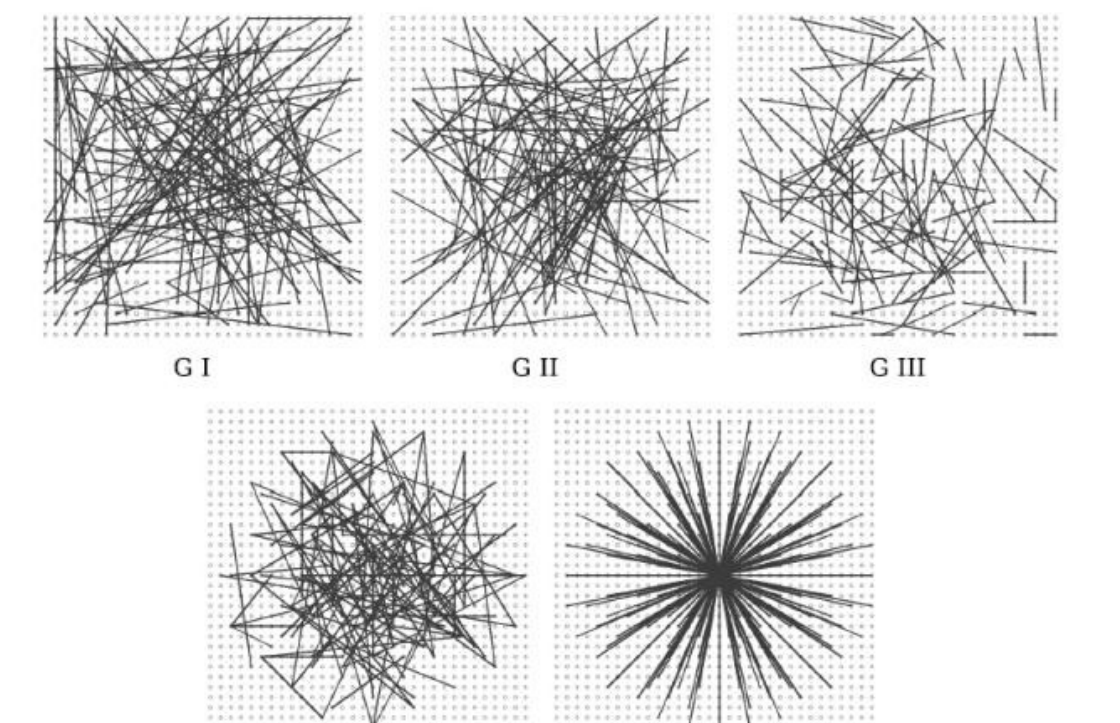
- Lissage gaussien (filtre les hautes fréquences)
- Sélection d'une paire de pixels tirés au hasard dans un voisinage (patch, ex : 37x37) autour du POI :
 - Le premier pixel est tiré aléatoirement selon une loi normale centrée sur le POI et avec un écart-type o.
 - Le second est tiré aléatoirement selon une loi normale centrée sur le POI et avec un écart-type $\sigma/2$.
 - Si le premier point est plus clair que le second : bit à 1 sinon 0.





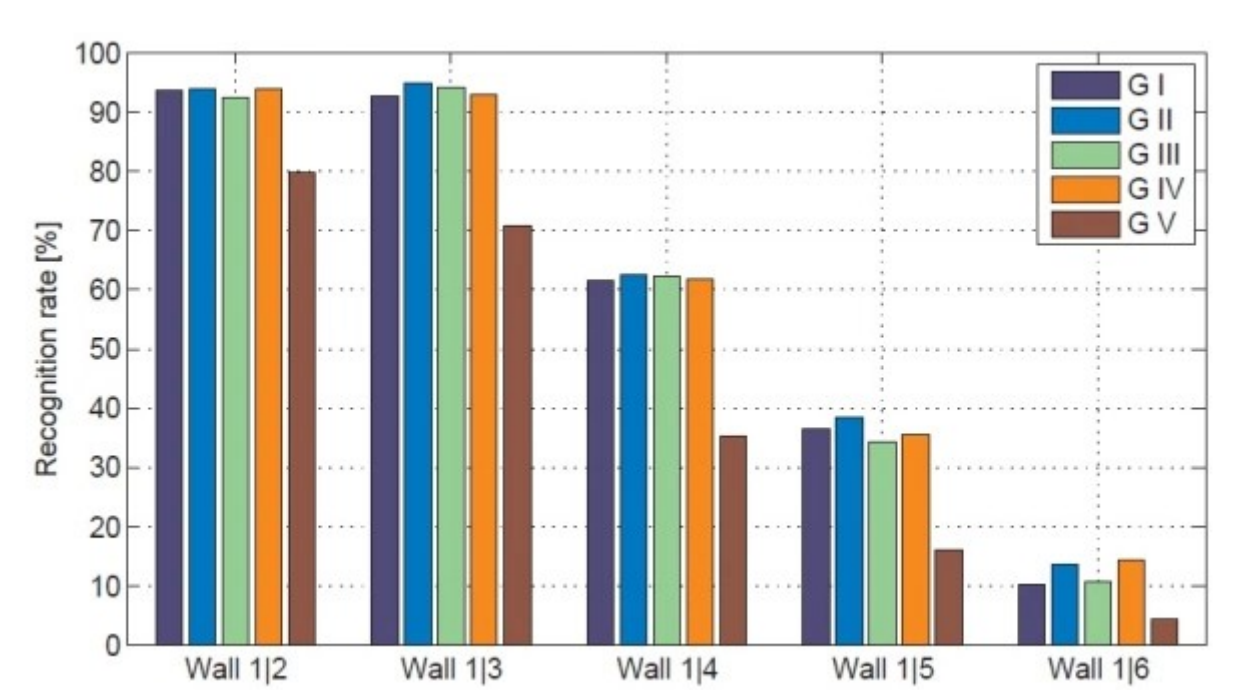
Descripteur binaire 128 à 512 bits: 011010...

Binary Feature Vectors $V_1 = [01011100100110...$ $V_2 = [10010100110100...$ $V_3 = [11000100101110...$ $V_4 = [01011111100100...$ \vdots



- uniforme
- gaussien (centré)
- gaussien
- grille discrète
- non aléatoire (grille fixée)

- Choix de la stratégie d'échantillonnage :
 - Tests sur des base(Pascal VOC 2006)



- L'algorithme précédent est exécuté 128,256, 512 fois selon la taille de la chaîne de bits que l'on veut utiliser.
- Le patch est toujours réaligné (grâce à l'angle θ)

• La sélection des paires de pixels est faite une seule fois : on garde les mêmes positions « aléatoires »

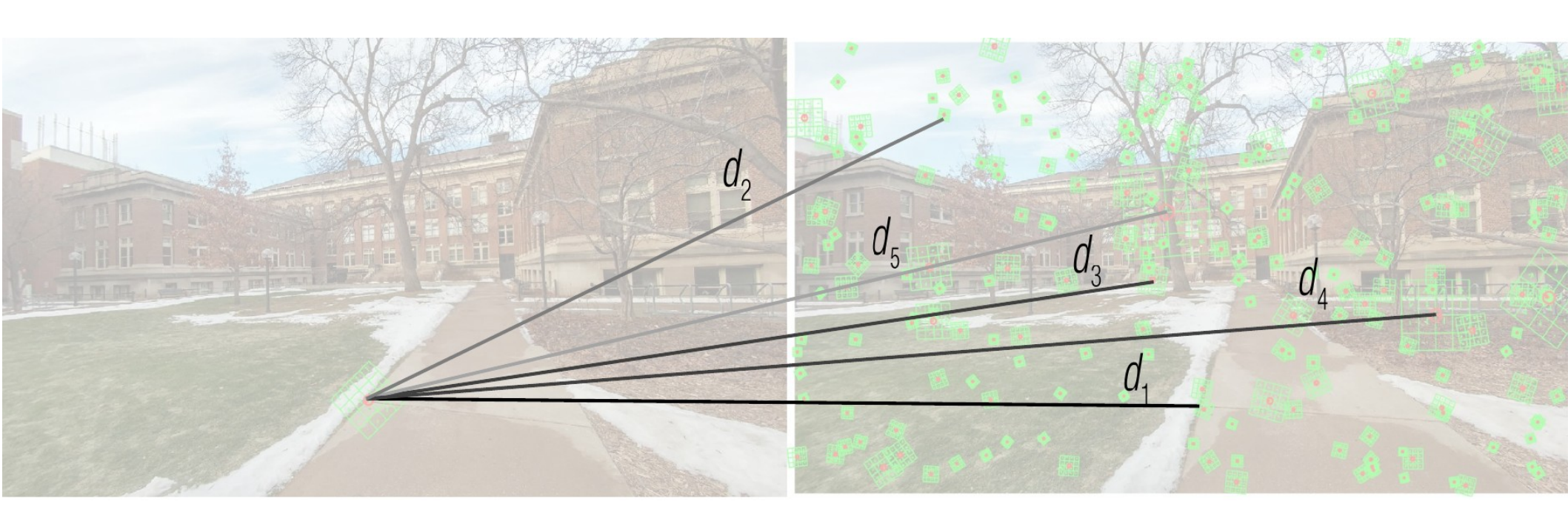
pour tous les patches

Mise en correspondance

 Pour chaque POI dans une image il faut trouver le meilleur correspondant dans l'autre image

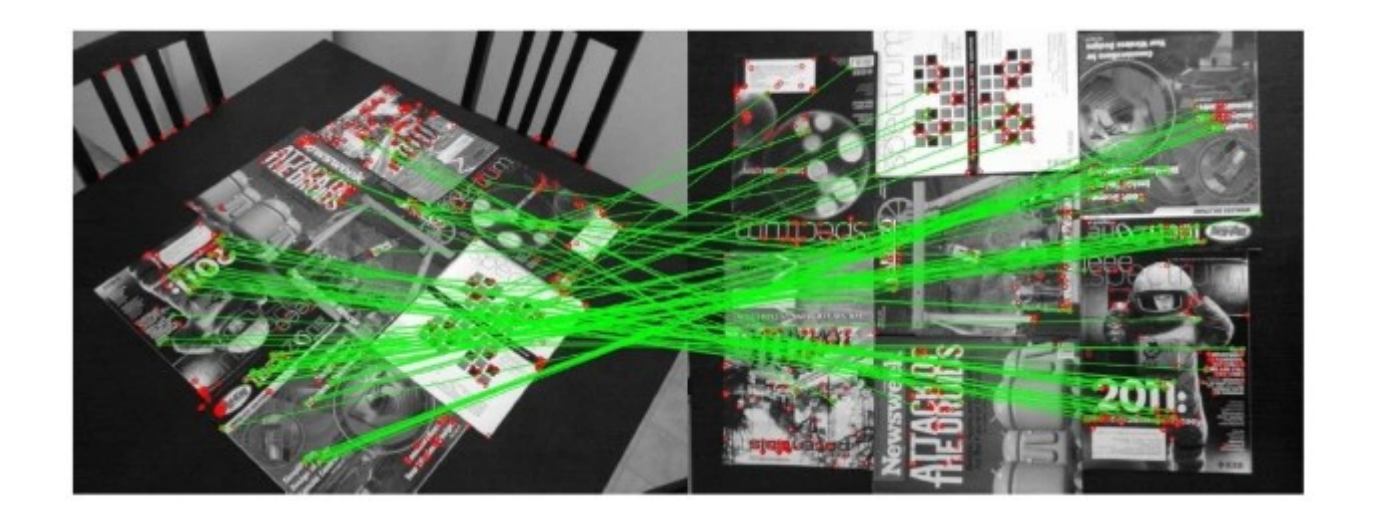


 Il faut une distance entre descripteurs. Pour ORB c'est la distance de Hamming (nombre de bits communs)



- Il faut aussi une méthode pour trouver le plus proche correspondant : Recherche du Plus Proche Voisin (Nearest Neighbor Search) :
 - Exhaustif : Brute force → coût élevé
 - Flann (Fast Approximate Nearest Neighbor searches): kdtree
 - Ransac : méthode stochastique
 - Hashing...
- Souvent associé à un filtrage des distances :
 - Exemple : *d1/d2<0.7*
 - S'il y a trop de distances voisines il ne faut pas faire la mise en correspondances.





- Algorithme efficace
- Grande variétés d'applications
- De nombreuses variantes (steered Brief, rBrief...)